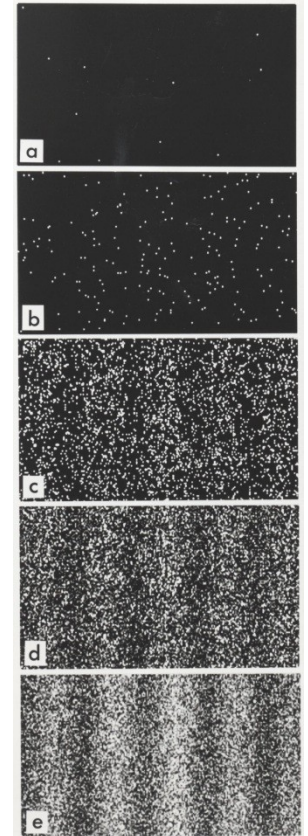
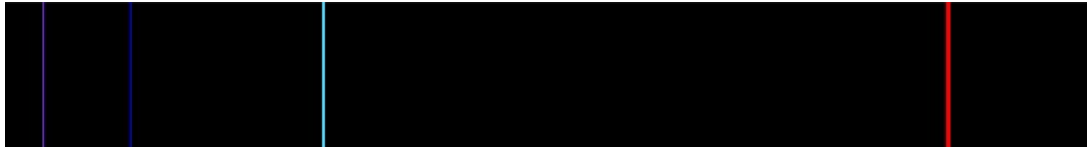


# (Re)Visão de Física Moderna

- Experimentos e problemas históricos:
  - Dualidade onda-partícula.
  - Espectros atômicos.



# A dualidade onda-partícula

A hipótese de de Broglie – ondas de matéria:

$$\lambda = \frac{h}{p}$$

$$v = \frac{E}{h}$$

$\vec{p}$  = momento linear da partícula

$E$  = energia total da partícula



Louis de Broglie (1892-1987)  
Nobel de Física 1929

Partícula livre:

$$K = \frac{p^2}{2m} \Rightarrow \lambda = \frac{h}{\sqrt{2mK}}$$

$K$  = energia cinética da partícula

Exemplos: Calcular o comprimento de onda associado a:

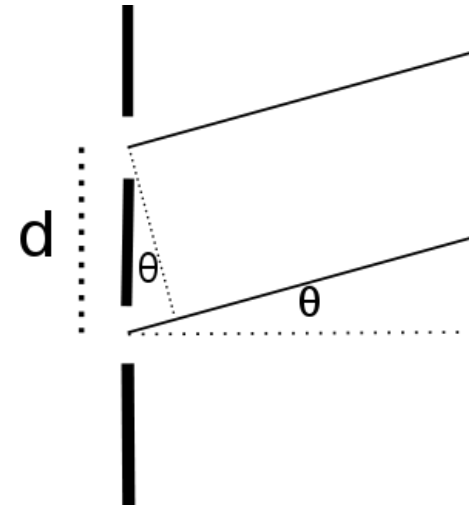
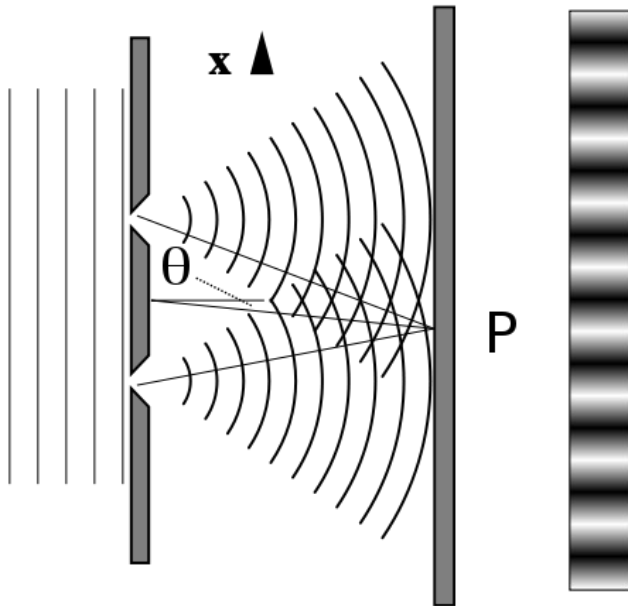
- 1) Um elétron acelerado por uma diferença de potencial de 100 V.
- 2) Uma bolinha de gude com massa 60 g e velocidade 10 m/s.

$$\lambda_{\text{elétron}} = 0,12 \text{ nm}$$

$$\lambda_{\text{bolinha}} = 1,1 \times 10^{-33} \text{ m}$$

# Difração e interferência de partículas

Experimentos de difração em fenda dupla (experimento de Young):

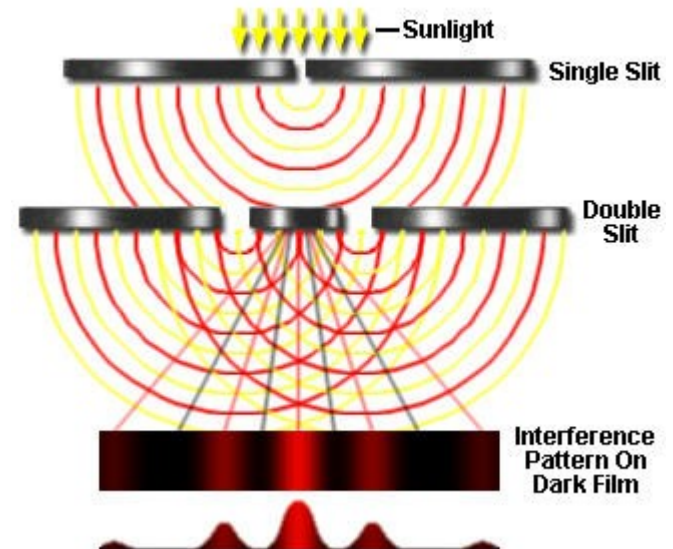
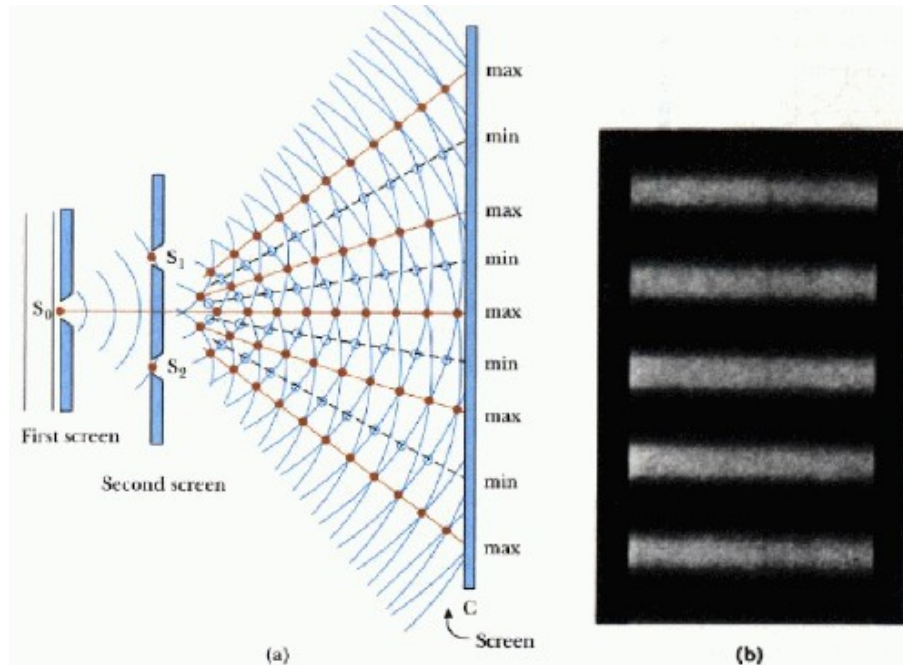


Máximos de interferência:  $d \sin \theta = m \lambda$

$m = 0, 1, 2, 3, \dots$

# Difração e interferência de partículas

Experimentos de difração em fenda dupla (experimento de Young):

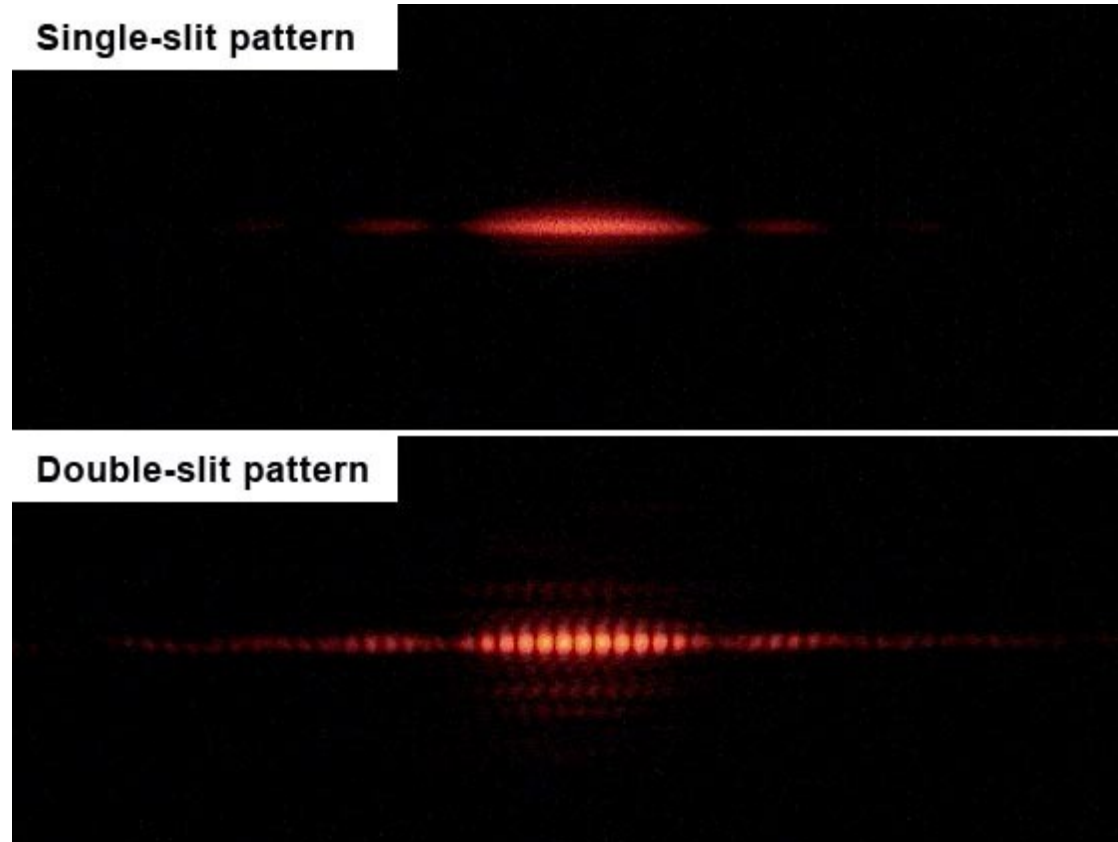


[http://psi.phys.wits.ac.za/teaching/Connell/phys284/2005/lecture-02/lecture\\_02/node3.html](http://psi.phys.wits.ac.za/teaching/Connell/phys284/2005/lecture-02/lecture_02/node3.html)

<http://www.chem1.com/acad/webtext/atoms/atpt-2.html>

# Difração e interferência de partículas

Experimentos de difração em fenda dupla (experimento de Young):



# Difração e interferência de partículas

## O experimento de Davisson-Germer:

*Second Series*

*December, 1927*

*Vol. 30, No. 6*

THE  
PHYSICAL REVIEW

---

DIFFRACTION OF ELECTRONS BY A CRYSTAL OF NICKEL

By C. DAVISSON AND L. H. GERMER

THE investigation reported in this paper was begun as the result of an accident which occurred in this laboratory in April 1925. At that time we were continuing an investigation, first reported in 1921,<sup>1</sup> of the distribution-in-angle of electrons scattered by a target of ordinary (polycrystalline) nickel. During the course of this work a liquid-air bottle exploded at a time when the target was at a high temperature; the experimental tube was broken, and the target heavily oxidized by the intruding air. The oxide was eventually reduced and a layer of the target removed by vaporization, but only after prolonged heating at various high temperatures in hydrogen and in vacuum.

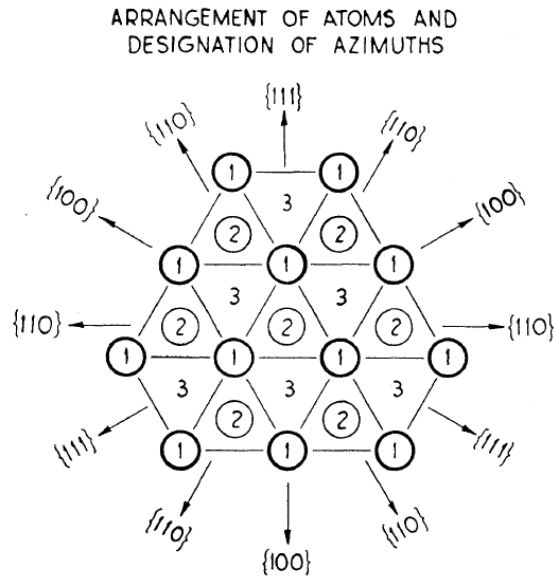


Clinton Davisson (1881-1958) – Nobel de Física 1937  
Lester Germer (1896-1971)

Davisson & Germer, *Phys. Rev.* 1927;30:705-740

# Difração e interferência de partículas

## O experimento de Davisson-Germer:



Alvo: Cristal de Ni (fcc)

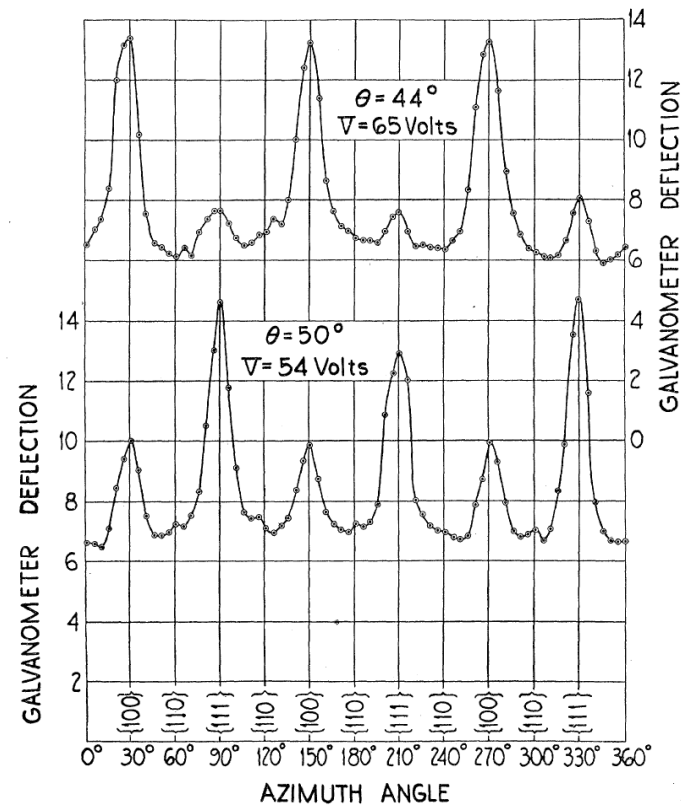
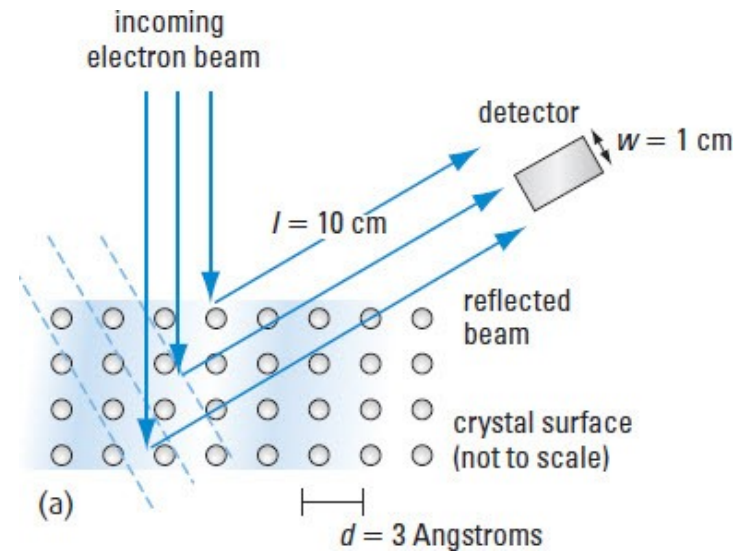
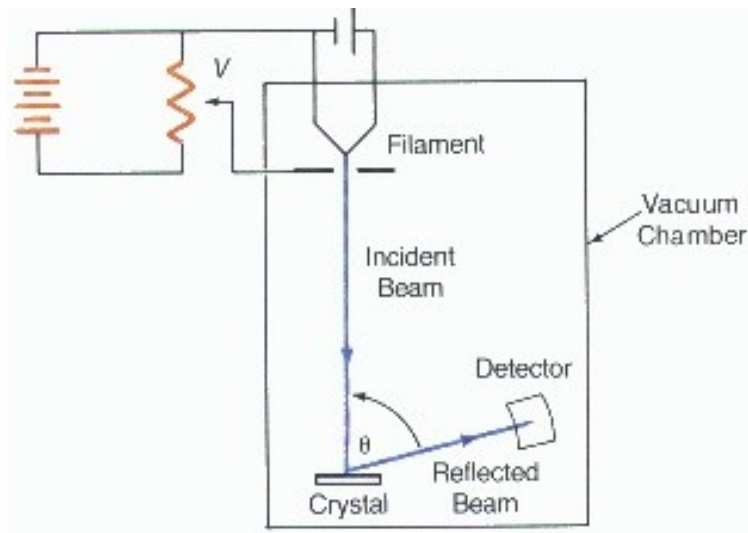


Fig. 11. Azimuth scattering curves through the "54-volt" electron beam and through the "65-volt" electron beam.

**Resultados para feixes com diferentes comprimentos de onda**

# Difração e interferência de partículas

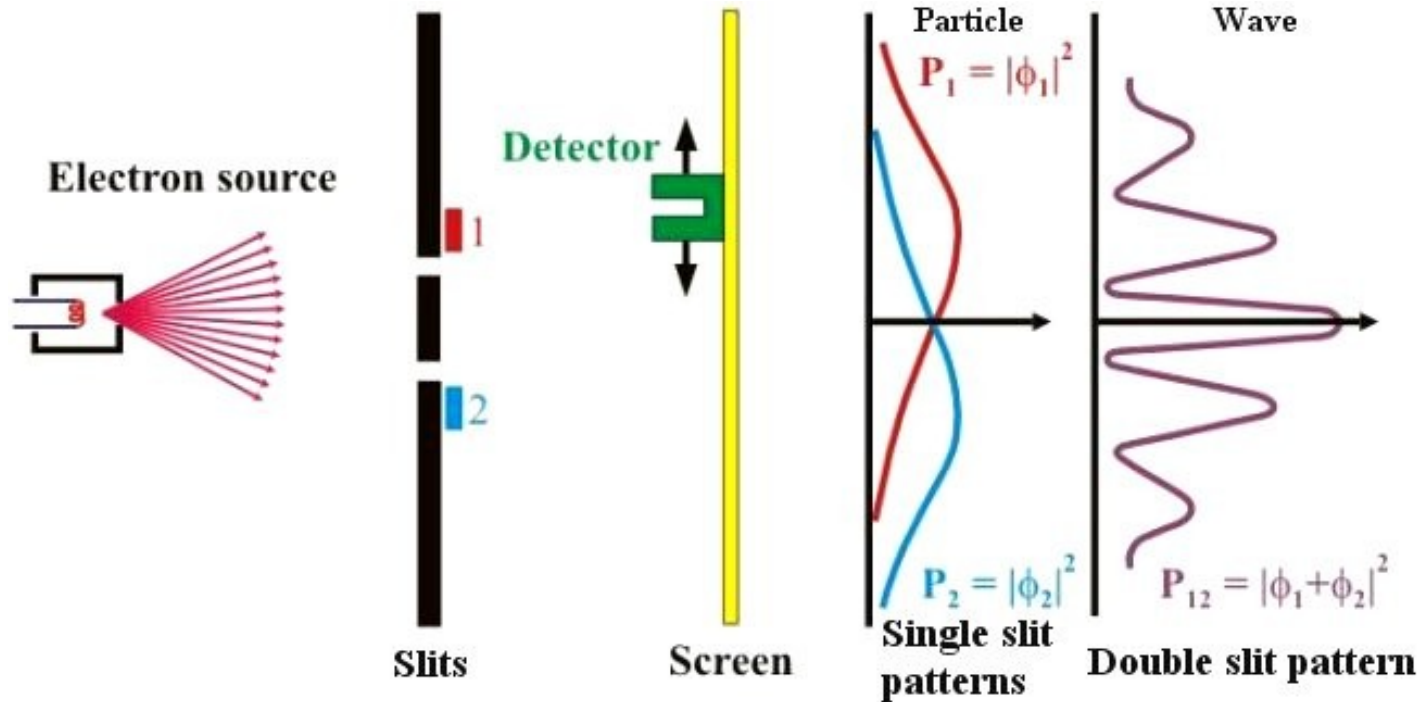
## O experimento de Davisson-Germer:





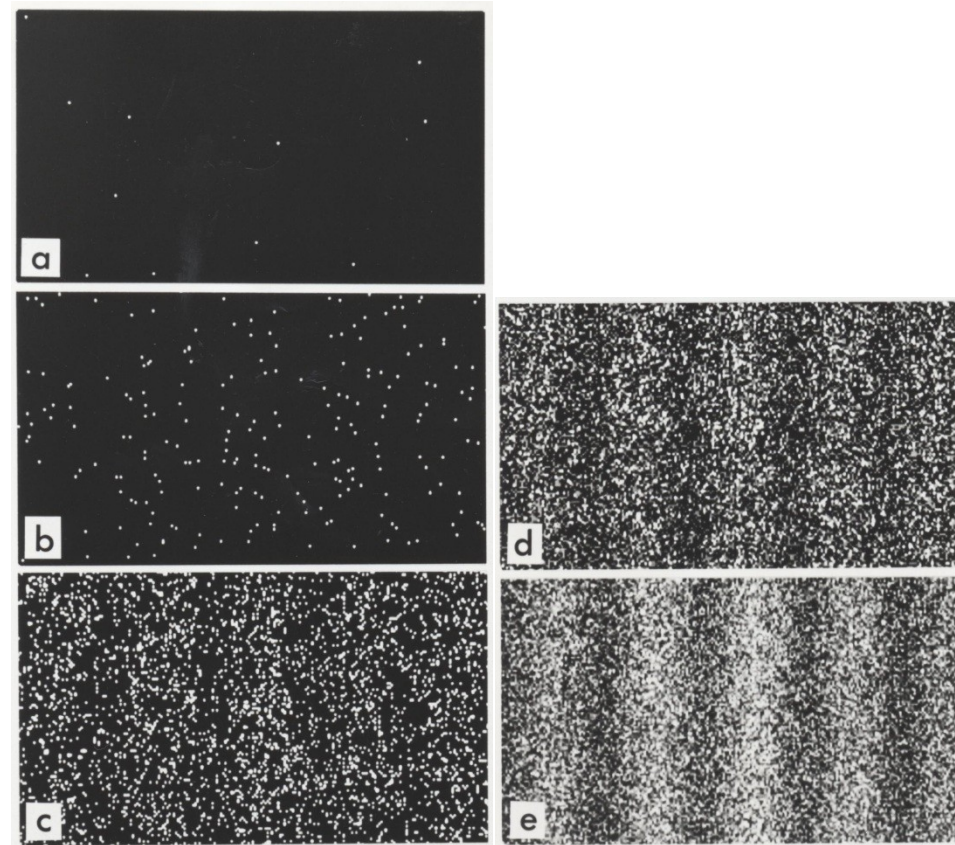
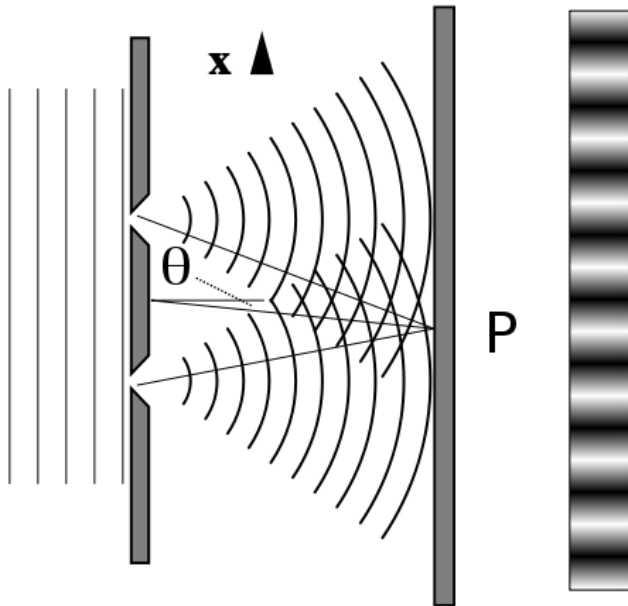
# Difração e interferência de partículas

## Experimentos de difração com elétrons:



# Difração e interferência de partículas

Experimentos de difração com elétrons:



*Formação do padrão de interferência ao longo do tempo de exposição*

# Difração e interferência de partículas

## Experimentos de difração com moléculas:

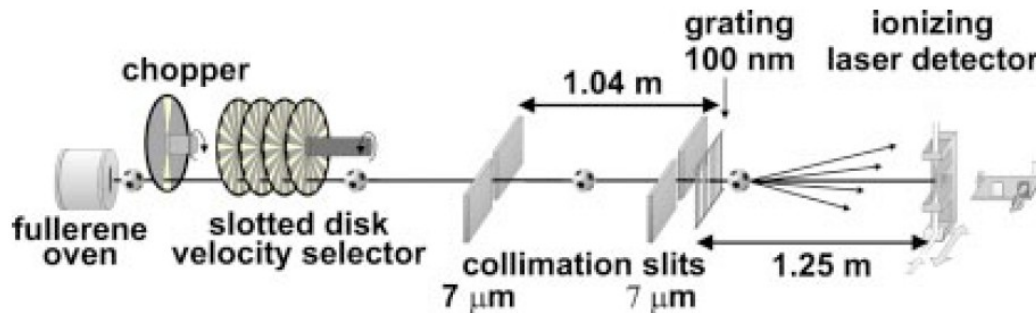


Fig. 2. The fullerene molecule  $C_{60}$ , consisting of 60 carbon atoms arranged in a truncated icosahedral shape, is the smallest known natural soccer ball.

Fulereno –  $C_{60}$

Diâmetro  $\sim 1$  nm

$\lambda \sim 2,8$  pm



# Difração e interferência de partículas

## Experimentos de difração com moléculas:

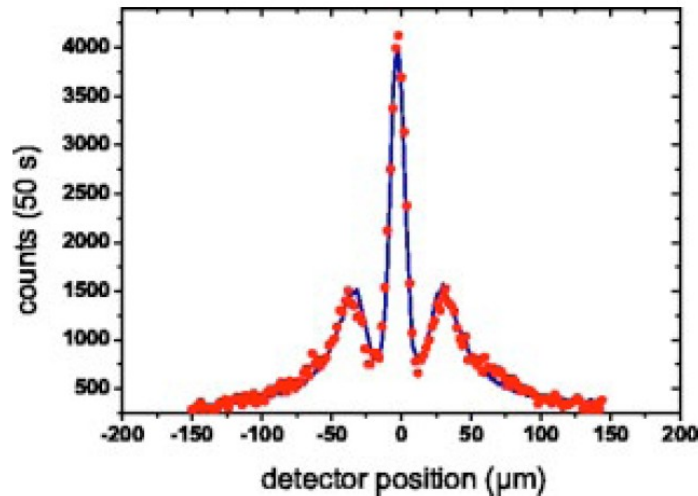


Fig. 6. Far-field diffraction of  $C_{60}$  using a thermal beam of  $\bar{v} = 200$  m/s with a velocity spread of  $\Delta v/v \sim 60\%$ . The absence of higher order interference fringes is due to the poor spectral coherence.

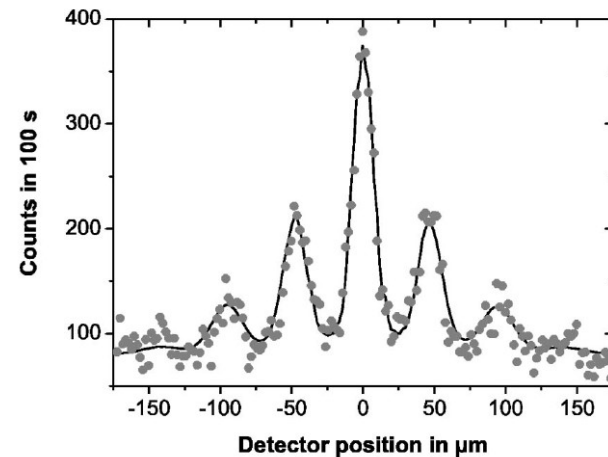


Fig. 7. Far-field diffraction of  $C_{60}$  using the slotted disk velocity selector. The mean velocity was  $\bar{v} = 117$  m/s, and the width was  $\Delta v/v \sim 17\%$ . Full circles represent the experimental data. The full line is a numerical model based on Kirchhoff–Fresnel diffraction theory. The van der Waals interaction between the molecule and the grating wall is taken into account in form of a reduced slit width. Grating defects (holes) additionally contribute to the zeroth order.

# Difração e interferência de partículas

## Difração de elétrons e nêutrons:

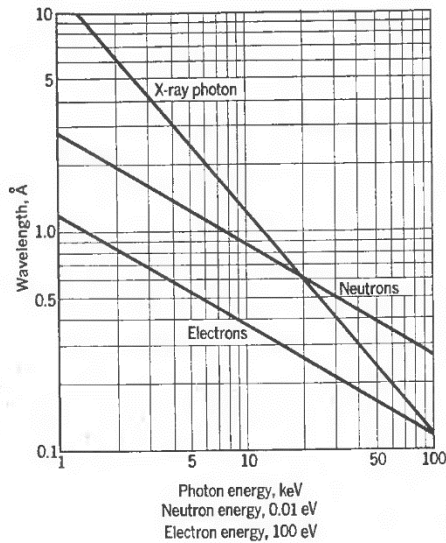


Figure 1 Wavelength versus particle energy, for photons, neutrons, and electrons.

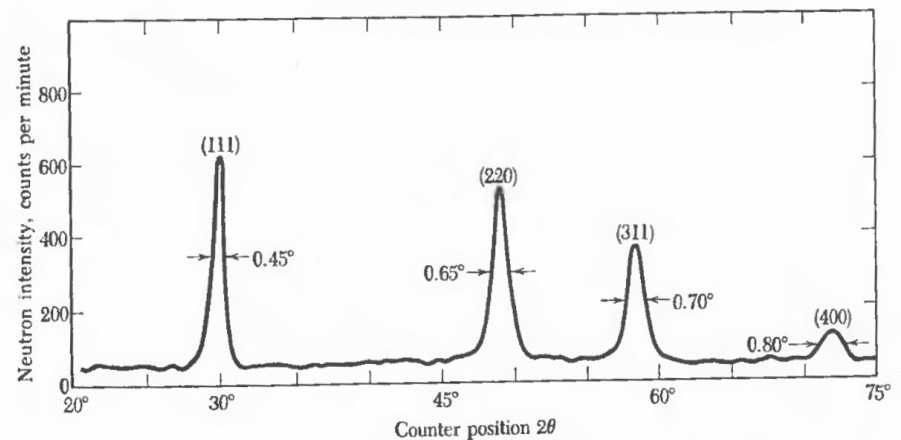
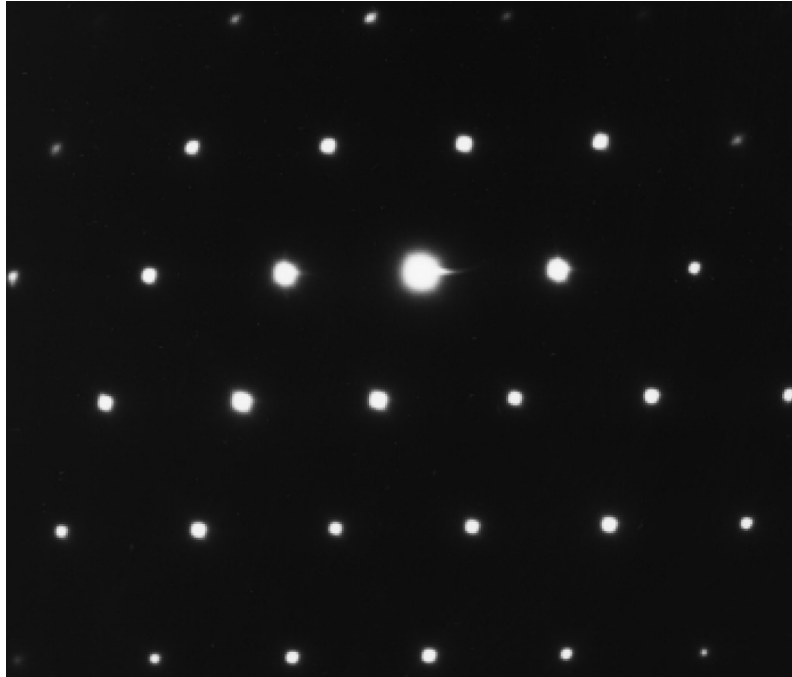


Figure 21 Neutron diffraction pattern for powdered diamond. (After G. Bacon.)

# Difração e interferência de partículas

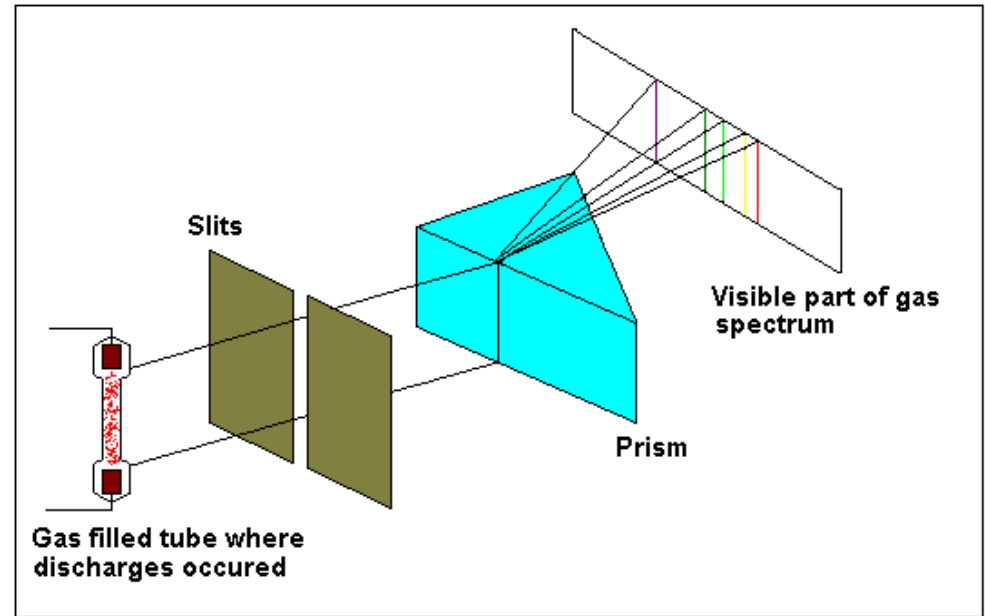
## Difração de elétrons e nêutrons:



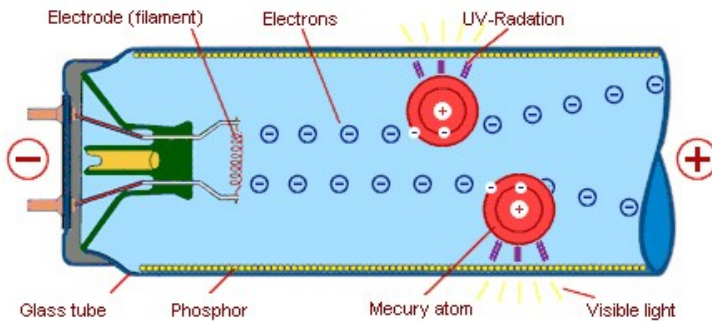
This photograph shows a diffraction pattern produced for a single crystal of gallium arsenide using a transmission electron microscope. The brightest spot near the center is produced by the incident electron beam, which is parallel to a  $\langle 110 \rangle$  crystallographic direction. Each of the other white spots results from an electron beam that is diffracted by a specific set of crystallographic planes. (Photograph courtesy of Dr. Raghav S. Rai, Motorola, Inc., Austin, Texas.)

# Espectros atômicos

## Espectros discretos (raias):



## Lâmpada fluorescente:



Discharges in the low - pressure gas filled tube are sources of light, which undergo refraction on a prism. We see the line spectrum of the gas.

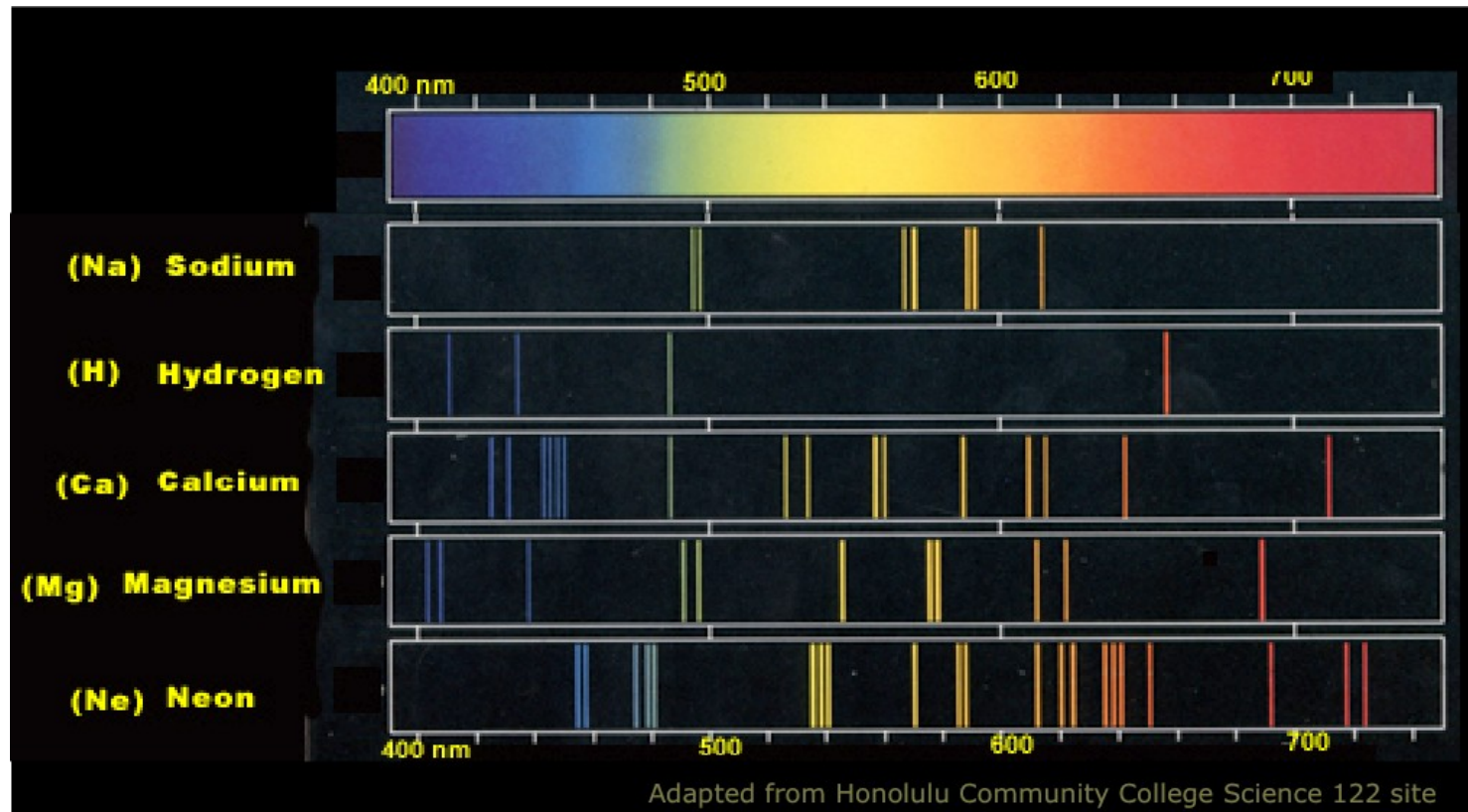
[http://library.thinkquest.org/28383/nowe\\_teksty/htmla/2\\_13a.html](http://library.thinkquest.org/28383/nowe_teksty/htmla/2_13a.html)

[http://www.osram.com/osram\\_com/Professionals/General\\_Lighting/Fluorescent\\_lamps/Technologies/Low-pressure\\_gas\\_discharge/index.html](http://www.osram.com/osram_com/Professionals/General_Lighting/Fluorescent_lamps/Technologies/Low-pressure_gas_discharge/index.html)



# Espectros atômicos

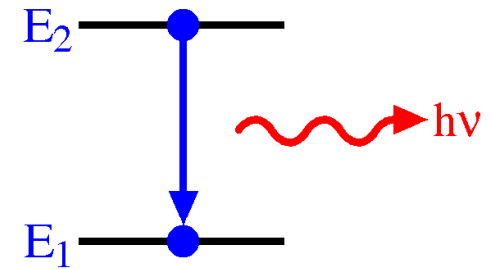
Espectros discretos (raias):



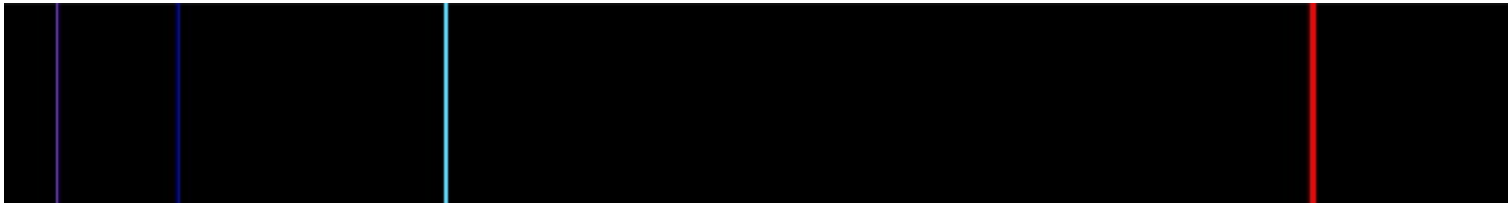


# Espectros atômicos

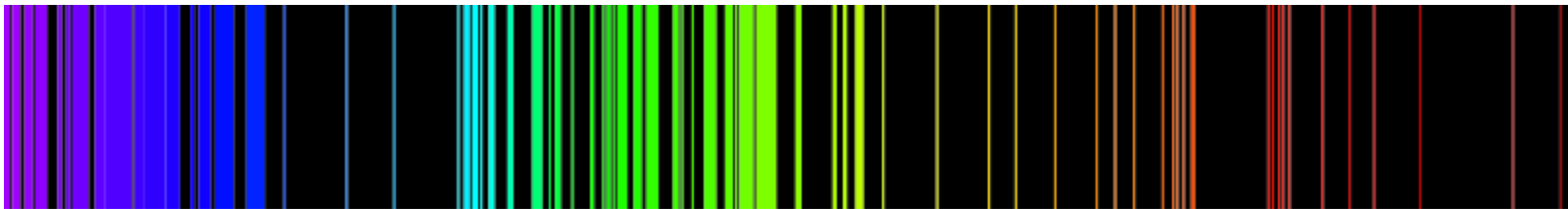
Espectros discretos (raias):



Hidrogênio:

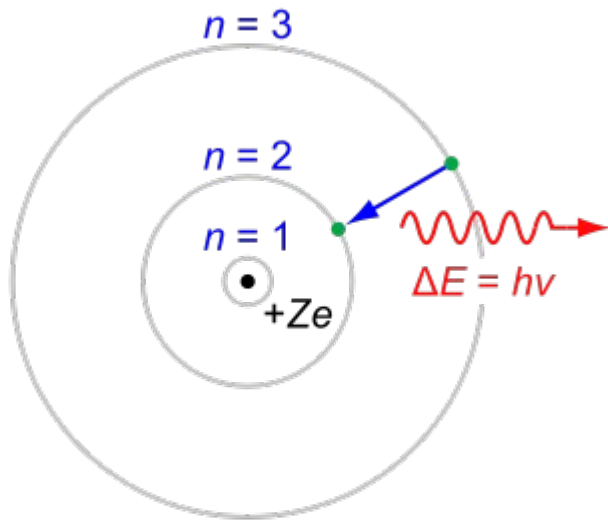


Ferro:

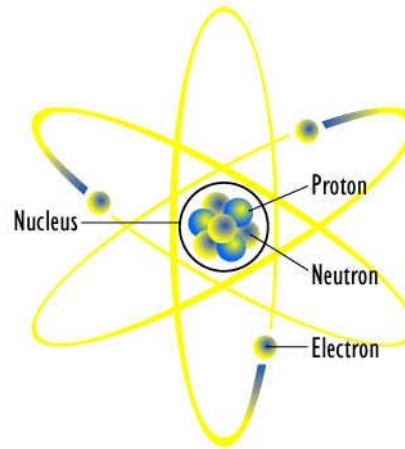


# Modelo de Bohr

Contribuições de Rutherford, Bohr, Sommerfeld, ...



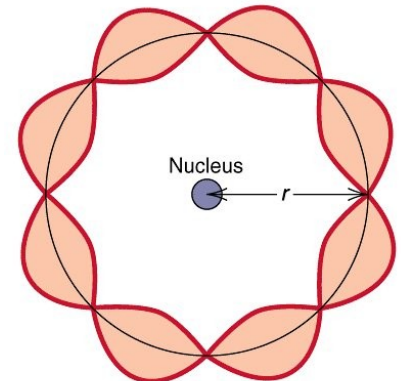
[http://en.wikipedia.org/wiki/Bohr\\_model](http://en.wikipedia.org/wiki/Bohr_model)



<http://2011period5group2.wikispaces.com/Niels+Bohr>



Niels Bohr (1885-1962)  
*Nobel de Física 1922*



Copyright 1998 by John Wiley and Sons, Inc. All rights reserved.

<http://web.sbu.edu/chemistry/wier/electrons/debroglie.html>

# Modelo de Bohr

## Átomo de Hidrogênio:

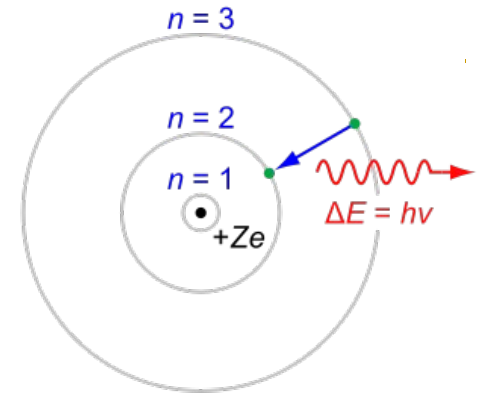
### Energia:

$$E_n = -\frac{\mu e^4}{8h^2 \epsilon_0^2} \frac{1}{n^2} \quad ; \quad n = 1, 2, 3, \dots$$

$$\mu = \frac{m M}{m + M}$$

### Frequência:

$$\bar{\nu} = -\frac{\mu e^4}{8h^2 \epsilon_0^2} \left( \frac{1}{n_2^2} - \frac{1}{n_1^2} \right) = R \left( \frac{1}{n_2^2} - \frac{1}{n_1^2} \right)$$

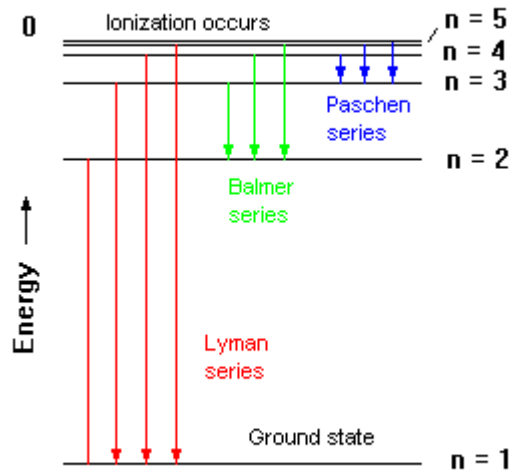


### Momento angular:

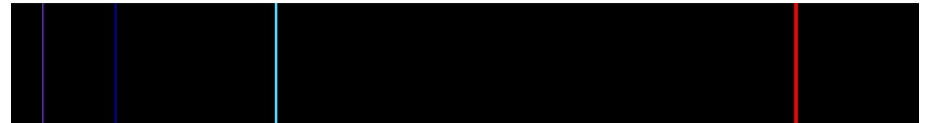
$$L_z = m \frac{h}{2\pi} = m\hbar$$

# Modelo de Bohr

Cálculos das frequências no espectro de emissão do hidrogênio:



$$E_n = -\frac{13,6 \text{ eV}}{n^2}$$



[http://en.wikipedia.org/wiki/Emission\\_spectrum](http://en.wikipedia.org/wiki/Emission_spectrum)

[http://tannerm.com/Quick\\_atom/A4.htm](http://tannerm.com/Quick_atom/A4.htm)

## Bibliografia:

- “*Materiais e Dispositivos Eletrônicos*”, Sergio M. Rezende, 2ª edição. São Paulo: Livraria da Física, 2004.
- “*Ciência e Engenharia de Materiais – uma Introdução*”, W. D. Callister Jr., 7ª edição. Rio de Janeiro: LTC, 2008.
- “*Física Quântica. Átomos, Moléculas, Sólidos, Núcleos e Partículas*”, R. Eisberg, R. Resnick, 6ª ed., Rio de Janeiro: Editora Campus, 1979.
- “Quantum interference experiments with large molecules”, O. Nairz, M. Arndt, A. Zeilinger. *Am. J. Phys.* 2003;71:319-325.